

(مقاله پژوهشی)

روش پرتابی بهبود یافته برای حل دسته‌ای از مسائل کنترل بهینه سویچ دار*فریبا وحیدی^(۱) محمدعلی مهرپویا^(۲)

چکیده امروزه کنترل بهینه کاربردهای وسیعی در علوم مختلف پیدا کرده است. در این بین، دسته‌ای از مسائل کنترل بهینه تحت عنوان مسائل کنترل بهینه سویچ دار، ظهور پیدا نموده‌اند که در آنها تابع کنترل، شامل یک پرش ناپیوسته از یک مقدار اکسترمم به مقدار اکسترمم بعدی است و به‌طور خطی در تابع هدف و معادلات دینامیکی ظاهر می‌گردد. این مسائل در عمل بسیار دیده شده و به‌طور ویژه دارای کاربردهای فراوانی در مهندسی هوافضا، جرقیل‌ها و ربات‌های صنعتی هستند. آنچه در حل این دسته از مسائل کنترل بهینه حائز اهمیت است، پیدا کردن نقاط سویچ با دقت بالا است. در این مقاله، یک روش پرتابی بهبود یافته جهت حل کارای این دسته از مسائل کنترل بهینه ارائه می‌گردد. به این منظور، ابتدا روش پرتابی مرسوم برای حل عددی این مسائل بازگو و نقاط ضعف آن در یافتن نقاط سویچ گوشزد می‌شود. سپس با بازطراحی روش با استفاده از تابع کنترل پارامتری شده، مسئله را به یافتن جواب معادله پرتابی طوری هدایت می‌کنیم که در آن، نقاط سویچ و مقادیر اولیه متغیرهای الحاقی، پارامترهای مجهول مسئله باشند. بدین ترتیب، نقاط سویچ و طبعاً جواب مسئله کنترل بهینه سویچ دار، با دقت بالایی به دست خواهد آمد. برای نشان دادن دقت روش پیشنهادی، نتایج روش روی پنج مسئله معیارسنج گزارش گردیده و کارایی روش نشان داده خواهد شد.

واژه‌های کلیدی کنترل بهینه سویچ دار؛ اصل مینیمم پونتریاگین؛ روش پرتابی؛ کنترل پارامتری شده.

An Improved Shooting Method for a Class of Switching Optimal Control Problems

F. Vahidifar M.A. Mehrpouya

Abstract Optimal control appears in some of the well-known areas of science in recent decades. In optimal control field, a classical subject is the switching optimal control problems which arise in some well-known application areas, such as aerospace engineering, cranes and industrial robots. In these problems, the input control jumps from one boundary to another and appears linearly in the objective function and the dynamical equations. What's important in solving these problems, is finding the switching points with high accuracy. In this paper, an improved shooting method for solving these problems is investigated. For this purpose, the well-known indirect shooting method for numerical solution of this class of optimal control problems is first reviewed and its deficiency in obtaining the switching points accurately, is expressed. Then, with redesigning the method by applying a control parameterization, we transform the problem to the solution of the shooting equation, in which, the values of the switching points and the initial values of the costate variables are unknown parameters. This leads the switching points are captured accurately and thereby accurate solution of the problem is obtained. Numerical results of five benchmark examples are presented and efficiency of the method is reported.

Key Words Switching Optimal Control, Pontryagin's Minimum Principle, Shooting Method, Control Parameterization

* تاریخ دریافت مقاله ۹۷/۱۰/۶ و تاریخ پذیرش آن ۹۹/۱/۲۹ می‌باشد. DOI: 10.22067/fum-mech.v3i1l.77967

(۱) کارشناسی ارشد، ریاضی کاربردی، دانشگاه تفرش

(۲) نویسنده مسئول: استادیار، دانشکده ریاضی، دانشگاه تفرش. mehrpouya@tafreshu.ac.ir

مقدمه

مسائل کنترل بهینه امروزه نقش به‌سزایی در توسعه و پیشرفت فناوری‌های جدید یافته‌اند. در واقع هر یک از جنبه‌های فعالیت روزمره ما عملاً نوعی سیستم کنترلی است. به‌عنوان نمونه، کنترل‌کننده‌های خودکار در سیستم‌های تهویه‌ای، دما و رطوبت هوای ساختمان‌ها را در حد مطلوب نگه می‌دارند. ترموستات و تایمر به ترتیب دیگ‌های حرارتی و ماشین‌های لباس‌شویی را کنترل می‌کنند. یک راننده اتومبیل، مسیر حرکتی را با پدال‌های پای و فرمان اتومبیل کنترل می‌نماید. قوانینی که رفتار همه این سیستم‌ها به کمک آن تعیین می‌شود، باید شامل متغیرهایی باشند که مقادیرشان بتوانند به‌وسیله کسی خارج و مستقل از خود دستگاه تغییر داده شوند؛ بنابراین متغیرهایی تحت عنوان متغیرهای حالت یا متغیرهای مکانی داریم که دقیقاً مشخص می‌کنند دستگاه در زمان چه کاری را باید انجام دهد. در عوض متغیرهایی نیز داریم که متغیرهای کنترلی نامیده شده و می‌توانند برای اصلاح نتایج حاصل‌شده از رفتار دستگاه مورد استفاده قرار بگیرند. اکنون سیستم دینامیکی را در نظر بگیرید که رفتار آن به‌وسیله مجموعه‌ای از معادلات دیفرانسیل معمولی توصیف می‌شود. سیستم در یک لحظه در موضعی خاص است و می‌خواهیم آن را طوری کنترل کنیم تا به موضع داده شده دیگری برسد. اگر این کار به طرق مختلفی قابل انجام باشد، آنگاه این حق وجود دارد که هر یک از آنها انتخاب شوند. بعضی از این انتخاب‌ها به‌منزله این است که سیستم زمان خیلی زیادی را تا رسیدن به موضع داده شده هدر می‌دهد. بقیه ممکن است در انرژی مصرفی پرهزینه باشند؛ بنابراین، به اندازه‌گیری هزینه متحمل شده در انتقال نیاز است. یک روش طبیعی برای اندازه‌گیری این هزینه، طرح انتگرالی است که بر حسب متغیرهای مکانی و متغیرهای کنترلی باشد و این همان تابع هدف مسئله کنترل بهینه است. لازم به یادآوری است که در بین مسائل کنترل بهینه،

دسته‌ای خاص از مسائل تحت عنوان مسائل کنترل بهینه سویچ‌دار وجود دارد که ماهیت آنها به‌گونه‌ای است که تابع کنترل هم در تابع هدف و هم در سیستم دینامیکی به‌صورت خطی ظاهر شده و مقادیر خود را از یک مجموعه گسسته می‌گیرد. حل این مسائل علی‌رغم ساختار ساده‌شان، با مشکلات عدیده‌ای همراه است. منشأ این مشکلات در ناپیوستگی و ناهمواری توابع کنترل نهفته است. در این مسائل، علاوه بر زمان‌های سویچ، به مقادیر کنترل نیز در بین این زمان‌ها نیاز است. لذا، اگر ساختار کنترل بهینه و تعداد نقاط سویچ از پیش معلوم نباشند، آنگاه حل این‌گونه مسائل بسیار دشوار خواهد بود. برای یافتن کنترل بهینه در این دسته از مسائل، از اصلی به نام اصل مینیمم پونتریاگین استفاده می‌شود که بنا بر آن، کنترل بهینه حتماً می‌بایست تابع همیلتونی را نسبت به توابع کنترل مینیمم نماید. بدین ترتیب، متغیرهایی تحت عنوان متغیرهای الحاقی به کار گرفته می‌شوند که به کمک آنها معادلات دینامیکی مسئله کنترل بهینه به تابع هدف الحاق شده تا در تشکیل تابع همیلتونی در استخراج شرایط لازم بهینگی برای حل مسئله مورد استفاده قرار گیرند. این متغیرهای الحاقی، صرفاً، چنین نقشی را داشته و دارای تعبیر فیزیکی خاصی نیستند.

کاربرد این نوع از مسائل کنترل بهینه را در بسیاری از سیستم‌ها از قبیل سیستم‌های بیولوژیک [1]، طراحی سیستم قدرت هایبریدی [2]، شبکه‌های بی‌سیم [3]، مهندسی هوافضا و ربات‌های صنعتی می‌توان مشاهده نمود. به‌عنوان مثال، در ربات‌های صنعتی سیستم‌های دینامیکی کنترل‌شده دارای طیف گسترده‌ای از حرکات ممکن هستند. با استفاده از روش‌های کنترل بهینه به نظر طبیعی می‌رسد که یک حرکت مشخص از رباتی را برای یک وظیفه معلوم در نظر بگیریم. رایج‌ترین معیارهای عملکرد ربات‌ها، بهره‌وری، دقت در تعیین موقعیت دسته (چنگک) یا گرفتن وسیله‌ای با چنگک و مصرف انرژی آنهاست. انتخاب معیار برای بهینه‌سازی

به اهداف تکنولوژیکی یک ربات بستگی دارد. برای مثال، اگر عملیات انجام شده توسط ربات در آغاز گام بعدی برخی فرایندهای تولید با تأخیر مواجه شود (تجهیزات تکنولوژیکی برای ربات "منتظر بماند")، آنگاه وجود برنامه‌های کنترل زمان بهینه ضروری می‌شود. به عبارت دیگر، اگر یک ربات بتواند عملیاتش را سریع‌تر از آنچه برای گام بعدی پروسه تکنولوژیکی لازم است انجام دهد، آنگاه طبیعی است که عملیات رباتیک در یک زمان معین با کمترین هزینه انرژی انجام شود.

به دلیل مشکلاتی که در یافتن نقاط سویچ و جواب بهینه وجود دارد، محاسبات کنترل‌های بهینه در این نوع از مسائل به‌طور ویژه‌ای مورد توجه قرار گرفته است؛ بنابراین، روش‌های عددی مستقیم و غیرمستقیم که در آن اولی بر اساس گسسته‌سازی و برنامه‌ریزی غیرخطی و دومی متناظر با استفاده از اصل مینیم پونتریگین است، به‌طور گسترده‌ای در بسیاری از مسائل کنترل بهینه از جمله کنترل‌های سویچ‌دار مورد استفاده قرار گرفته‌اند. روش‌های مستقیم به دلیل قابلیت‌ها و امکاناتشان مشهور هستند. این روش‌ها به حدس اولیه برای متغیرهای الحاقی و استخراج شرایط لازم بهینگی نیاز ندارند. به همین دلیل انواع الگوریتم‌های مستقیم برای مسائل کنترل بهینه سویچ‌دار گزارش شده است. به‌عنوان مثال کایا و نوایکس [4]، روش محاسبات زمان سویچ را توسعه دادند. این روش، روشی برای کنترل تک متغیره است که یک ترکیب کمان‌های ثابت ورودی شدنی اما نه لزوماً بهینه را از یک نقطه اولیه به سمت نقطه هدف برای تعداد سویچ‌های معلوم پیدا می‌کند. نویسندگان [4]، الگوریتم سویچ‌های بهینه را در [5]، برای کنترل سویچ‌های بهینه دستگاه‌های غیرخطی با یک کنترل تک متغیره توسعه دادند. در [6] مشابه با [4, 5]، طول کمان‌ها به‌عنوان متغیرهای بهینه‌سازی استفاده شده اما روش آنها برای کلاس عمومی‌تری از مسائل کنترل

بهینه سویچ‌دار به کار رفته است که علاوه بر این، شرایط کافی مرتبه دوم بهینگی برای تضمین اینکه قانون کنترل بهینه باشد، استفاده گردیده است. لین و همکاران [7]، روش محاسباتی که بر پایه تقریب تک‌ای ثابت کنترل است را به کار بردند. این طرح تقریبی دقیق است، اما مسئله را به سمت یک برنامه‌ریزی غیرخطی تقریبی هدایت می‌کند که حل عددی آن بسیار دشوار است. نویسندگان [7] تکنیکی جدید برای حل مشکلات این روش، با معرفی یک روش جدید برای تبدیل مسئله تقریبی به یک مسئله بهینه‌سازی جدید که حل آن آسان‌تر است، در [8] ارائه دادند. در [9] روش شبه‌طیفی اصلاح‌شده ارائه شده است. این روش، جواب دقیق مسائل کنترل بهینه سویچ‌دار را ارائه می‌دهد و می‌تواند نقاط سویچ را با دقت به دست آورد. علاقه‌مندان برای مطالعه بیشتر به حل مستقیم این دسته از مسائل کنترل بهینه می‌توانند به مراجع [10-16] مراجعه نمایند.

از طرف دیگر، روش‌های غیرمستقیم، متناظر با استفاده از اصل مینیم پونتریگین هستند [17] و منجر به حل یک مسئله مقدار مرزی همپلتونی می‌شوند. مزایای اصلی این روش‌ها، دقت بالای آنها در جواب و تضمین اینکه جواب به‌دست‌آمده در شرایط لازم بهینگی صدق می‌کند، است [18].

هدف این مقاله ارائه یک روش پرتابی غیرمستقیم برای حل دسته‌ای از مسائل کنترل بهینه سویچ‌دار است. به دلیل ناپیوستگی کنترل‌ها، روش پرتابی مرسوم در حل آنها، باعث خراب شدن دقت روش، مخصوصاً در یافتن نقاط سویچ می‌شود. در نتیجه برای رفع این مشکل، یک روش پرتابی بهبودیافته با کنترل پارامتری شده ارائه می‌گردد. به همین منظور، ابتدا، بر اساس اصل مینیم پونتریگین، شرایط لازم بهینگی که منجر به تشکیل یک مسئله مقدار مرزی همپلتونی (HBVP) می‌شود، استخراج شده، سپس با معلوم بودن تعداد نقاط سویچ و ساختار کنترل بهینه به‌دست‌آمده از

در بازه $[0, t_f]$ مینیمم می‌کند.

در اینجا بردار حالت x پیوسته است و کنترل‌ها دارای تعداد متناهی نقاط سویچ می‌باشند که در این نقاط از یک مقدار به مقدار دیگر سویچ می‌کنند. همچنین فرض شده که تابع $h: \mathbb{R}^{p+q+1} \rightarrow \mathbb{R}^p$ تابعی هموار از متغیرهای (x, u, t) باشد.

اصل مینیمم و روش پرتابی. به منظور فرموله کردن شرایط لازم بهینگی، تابع همیلتونی به صورت:

$$\begin{aligned} H(x(t), \lambda(t), u(t)) &= 1 + \lambda^T(t) h(x(t), u(t), t) \\ &= 1 + \lambda(t) f_1(x(t), t) + \lambda(t) f_2(x(t), t) u(t) \end{aligned} \quad (6)$$

معرفی شده که

$$\begin{aligned} \lambda(t) &= [\lambda_1(t), \lambda_2(t), \dots, \lambda_p(t)]^T \\ \text{نامیده می‌شود. همچنین ضریب تابع کنترل } u(t) \text{ در} \\ \text{تابع همیلتونی، تابع سویچ نامیده شده و با} \\ \sigma(x, \lambda, t) &= [\sigma_1(x, \lambda, t), \dots, \sigma_q(x, \lambda, t)] \\ &= \lambda^T f_2(x, t) \end{aligned} \quad (7)$$

نشان داده می‌شود.

توجه شود که جواب مسئله کنترل بهینه در شرایط لازم،

$$\dot{x} = [\partial H / \partial x]^T, \quad (8)$$

$$\dot{\lambda} = -[\partial H / \partial \lambda]^T, \quad (9)$$

صدق می‌کند و بر اساس اصل مینیمم پونتریاگین، کنترل بهینه بایستی تابع همیلتونی را نسبت به توابع کنترل مینیمم کند [17] که به سادگی قانون کنترل

$$u_j(t) = \begin{cases} -1 & \text{if } \sigma_j(x(t), \lambda, t) > 0 \\ +1 & \text{if } \sigma_j(x(t), \lambda, t) < 0 \\ \text{undefined} & \text{if } \sigma_j(x(t), \lambda, t) = 0 \end{cases} \quad (10)$$

روش پرتابی مرسوم، توابع کنترل با توابع تکه‌ای ثابت جایگزین می‌شود. لذا، حل مسئله به حل معادله پرتابی تبدیل شده [19]، که در آن مقادیر نقاط سویچ و مقادیر اولیه متغیرهای الحاقی، پارامترهای مجهول هستند.

این مقاله در چند بخش طراحی شده است: بخش بیان مسئله، به فرموله کردن مسئله هدف، معرفی اصل مینیمم پونتریاگین و روش پرتابی اختصاص دارد. در بخش معرفی روش، روش پرتابی بهبود یافته با کنترل پارامتری شده ارائه می‌گردد. در بخش مثال‌های عددی، روش پیشنهادی بر روی پنج مسئله کنترل بهینه معیار سنج پیاده‌سازی شده و مزایای روش نشان داده خواهد شد.

بیان مسئله، اصل مینیمم و روش پرتابی

بیان مسئله اصلی. مسائل کنترل بهینه سویچ‌دار که در آن کنترل‌ها به صورت خطی ظاهر می‌شوند را در نظر می‌گیریم. فرض کنیم

$$\begin{aligned} \mathbf{x}(t) &= [x_1(t), x_2(t), \dots, x_p(t)]^T \\ \mathbf{u}(t) &= [u_1(t), u_2(t), \dots, u_q(t)]^T \end{aligned}$$

بازه $t \in [0, t_f]$ با زمان انتهایی آزاد t_f باشند که تابعی

$$J = \int_0^{t_f} 1 dt = t_f \quad (1)$$

را نسبت به محدودیت‌های

$$\begin{aligned} \dot{\mathbf{x}}(t) &= \mathbf{h}(\mathbf{x}(t), \mathbf{u}(t), t) \\ &= f_1(\mathbf{x}(t), t) + f_2(\mathbf{x}(t), t) \mathbf{u}(t) \end{aligned} \quad (2)$$

$$\mathbf{x}(0) = \mathbf{x}_0 \quad (3)$$

$$\mathbf{x}(t_f) = \mathbf{x}_f \quad (4)$$

$$u_j(t) \in \{-1, +1\}, \quad j = 1, 2, \dots, q \quad (5)$$

$$\begin{aligned}
 F(v) &= \Psi(y(t_f), t_f) \\
 &= \begin{pmatrix} x(t_f) - x_f \\ H(x(t_f), \lambda(t_f), -\text{sign}(\sigma(t_f))) \end{pmatrix} \\
 &= 0
 \end{aligned}
 \tag{15}$$

به عنوان معادله پرتابی، برقرار باشد. همچنین فرض می‌کنیم که IVP (۱۴) دارای یک جواب منحصر به فرد باشد. باید توجه داشت که به دلیل وجود تابع انتگرالده ناپیوسته در سمت راست سیستم معادلات دیفرانسیل در IVP (۱۴)، حل معادله پرتابی (۱۵) سبب از دست رفتن دقت در جواب $HBVP$ (۱۳) مخصوصاً در یافتن نقاط سویچ، می‌گردد [20]. بخش بعد به راه حل دقیق و کارآمد این $HBVP$ اختصاص داده شده است.

معرفی روش پرتابی بهبود یافته

با کنترل پارامتری شده

در این بخش با دانستن تعداد نقاط سویچ و ساختار کنترل به دست آمده از روش پرتابی مرسوم که در بخش قبل توضیح داده شد، فرض می‌کنیم هر تابع کنترل $u_j(t)$ دارای n_j نقطه سویچ باشد؛ بنابراین تقریب زیر برای هر کنترل $u_j(t)$ ، $j = 1, \dots, q$ در نظر گرفته خواهد شد:

$$u_j(t) = \begin{cases} b_j^0, & s_j^0 \leq t \leq s_j^1 \\ b_j^1, & s_j^1 < t \leq s_j^2 \\ \vdots \\ b_j^{n_j}, & s_j^{n_j} < t \leq s_j^{n_j+1} \end{cases}
 \tag{16}$$

که $0 = s_j^0 < s_j^1 < \dots < s_j^{n_j} < s_j^{n_j+1} = t_f$ به عنوان نقاط سویچ و انتهایی در نظر گرفته شده‌اند که برای $u_j(t)$ روی هر زیردامنه، پارامتر معلوم b_j^k برای $k = 0, 1, \dots, n_j$ را اختیار می‌کند. طبق (۵)،

برای $j = 1, 2, \dots, q$ نتیجه می‌شود.

بنابراین تابع سویچ $\sigma(t)$ تابع کنترل را با

$$u(t) = -\text{sign}(\sigma(t)),
 \tag{11}$$

روی بازه $[0, t_f]$ به جز بر روی نقاط سویچ مشخص می‌کند. توجه شود وقتی زمان نهایی t_f آزاد است، شرط ترانسورسالیته

$$H(x(t_f), \lambda(t_f), u(t_f)) = 0
 \tag{12}$$

بایستی در کنار شرایط اولیه و مرزی، یعنی معادلات (۳ و ۴) قرار بگیرد [17]. حال با جایگذاری تابع کنترل (۱۱) در معادلات (۸، ۹ و ۱۲) و در نظر گرفتن شرایط (۳ و ۴) یک $HBVP$ به عنوان شرایط لازم بهینگی به دست می‌آید. این $HBVP$ را به صورت:

$$\begin{cases} \dot{y} = f(t, y) & 0 \leq t \leq t_f \\ y(0) = y_0 \\ \Psi(y(t_f), t_f) = 0 \end{cases}
 \tag{13}$$

نشان می‌دهیم که $y(t) = [x(t), \lambda(t)]^T \in \mathbb{R}^{2p}$ ، $f: \mathbb{R}^{2p+1} \rightarrow \mathbb{R}^{2p}$ و $\Psi: \mathbb{R}^{2p+1} \rightarrow \mathbb{R}^{p+1}$ تابع مرزی مسئله است که مجموع شرایط در معادلات (۴ و ۱۲) را بیان می‌کند. به منظور استفاده از روش پرتابی برای حل $HBVP$ (۱۳) ابتدا، مسئله مقدار اولیه متناظر آن را به صورت:

$$\begin{cases} \dot{y} = f(t, y) & 0 \leq t \leq t_f \\ y(0) = y_0 \end{cases}
 \tag{14}$$

در نظر می‌گیریم. حال برردار $v = (\lambda_1(0), \dots, \lambda_p(0), t_f)^T$ را به گونه ای می‌یابیم که سیستم معادلات جبری غیرخطی

$$\Psi(\cdot) = \begin{pmatrix} x(t_f) - x_f \\ H(x(t_f), \lambda(t_f), -\text{sign}(\sigma(t_f))) \\ \sigma_j(s_j^1) \\ \vdots \\ \sigma_j(s_j^{n_j}) \end{pmatrix}, \quad j=1, 2, \dots, q \quad (21)$$

تشکیل می‌شود که به جای $\Psi(y(t_f), s_1, \dots, s_q, t_f)$ برای راحتی از $\Psi(\cdot)$ استفاده می‌کنیم. هدف، حل معادله پرتابی

$$S(z) = \Psi(\cdot) = 0 \quad (22)$$

است که در واقع بردار z ، بردار پارامترهای مجهول و به صورت

$$z = (s, \lambda_1(0), \dots, \lambda_p(0))^T \quad (23)$$

در نظر گرفته شده است که در آن

$$s = (s_1, \dots, s_q) \quad (24)$$

است. مجدداً یادآور می‌شویم که معادله پرتابی (۲۲) سیستمی از معادلات غیرخطی برای یافتن z مورد نظر است که $y(t_f; z)$ تقریبی از $y(t_f)$ است و برای محاسبه آن در یک z معلوم، نیاز به حل IVP زیر داریم:

$$\begin{cases} \dot{y} = f(t, y, u(t; s)), & 0 \leq t \leq t_f \\ y(0) = y_0 \end{cases} \quad (25)$$

فرض کنیم، IVP (۲۵) یک جواب منحصر به فرد داشته باشد که آن را با $y(t; z)$ نشان می‌دهیم. برای یافتن جواب IVP (۲۵) با z معلوم، ابتدا بازه $[0, t_f]$ را به $(n_1 + \dots + n_q) + 1$ قسمت تقسیم می‌کنیم. سپس معادله دینامیکی با شرط اولیه y_0 در زیربازه اول را حل می‌نماییم. مقدار مشاهده شده در انتهای هر زیربازه به عنوان شرط اولیه معادلات دینامیکی در زیربازه بعدی در نظر گرفته می‌شود و این روند ادامه پیدا می‌کند تا به زیربازه آخر برسیم. علاوه بر این، اگر هر شرطی در

$\{ -1, +1 \}$ که $b_j^k = -b_j^{k+1}$ است؛ بنابراین طبق (۱۰) داریم:

$$b_j^k = -\text{sign}(\sigma_j(t)), \quad s_j^k < t \leq s_j^{k+1} \quad (17)$$

و $b_j^{n_j} = (-1)^{n_j} b_j^0$. این ساختار کنترل، شرایط سوئیچ

$$\sigma_j(s_j^i) = 0, \quad i = 1, \dots, n_j \quad (18)$$

را نتیجه می‌دهد.

باید توجه داشت، بر اساس این تقریب هر کنترل $u_j(t)$ را با $s_j = (s_j^1, \dots, s_j^{n_j}, t_f)$ پارامتری می‌کنیم. در نتیجه هر تابع کنترل $u_j(t)$ در معادله (۱۶) را می‌توانیم به صورت $u_j(t; s_j)$ نشان دهیم. حال با جایگذاری تابع کنترل

$$u(t; s) = [u_1(t; s_1), \dots, u_q(t; s_q)]^T \quad (19)$$

در معادلات (۸ و ۹)، یک سیستم از معادلات دیفرانسیل با $u(t; s)$ در سمت راست معادله که بر اساس $x(t)$ و $\lambda(t)$ است، به دست می‌آید. این سیستم از معادلات دیفرانسیل در کنار شرایط اولیه و مرزی (۳ و ۴) و شرط ترانسورسالیته (۱۲) و شرایط سوئیچی (۱۸)، تشکیل یک HBVP به صورت:

$$\begin{cases} \dot{y} = f(t, y, u(t; s)), & 0 \leq t \leq t_f \\ y(0) = y_0 \\ \Psi(y(t_f), s_1, \dots, s_q, t_f) = 0 \end{cases} \quad (20)$$

را می‌دهد.

به منظور استفاده از روش پرتابی برای حل HBVP (۲۰)، معادله پرتابی به صورت:

$$\dot{x}_2 = -x_1 - (x_1^2 - 1)x_2 + u \quad (27)$$

$$u(t) \in \{-1, 1\} \quad (28)$$

و شرایط اولیه و مرزی

$$x(0) = [1, 1]^T \quad (29)$$

$$x(t_f) = [0, 0]^T \quad (30)$$

باشد [21]. در این مسئله، تابع کنترل u ، ولتاژ این مدار الکتریکی در نظر گرفته می‌شود. حال، تابع همپلتونی در (۶) به صورت:

$$H(x, \lambda, u) = [1 + \lambda_1 x_2 + \lambda_2 (-x_1 - (x_1^2 - 1)x_2 + u)] \quad (31)$$

تشکیل می‌شود.

بدین ترتیب، معادلات الحاقی (۹) به شکل

$$d\lambda_1 / dt = (2x_1 x_2 + 1)\lambda_2 \quad (32)$$

$$d\lambda_2 / dt = -\lambda_1 - \lambda_2(1 - x_1^2) \quad (33)$$

به دست می‌آیند.

تابع سویچ $\sigma(t) = \lambda_2(t)$ کنترل بهینه را با $u(t) = -\text{sign}(\lambda_2(t))$ مشخص می‌کند. توجه شود، با استفاده از روش پرتابی مرسوم روی این مسئله، جواب سیستم کنترل در نقطه سویچ $s = 0.719087$ به دست آمده است. حال با معلوم بودن تعداد نقاط سویچ و ساختار کنترل بهینه، این مسئله با روش پیشنهادی حل می‌شود؛ بنابراین، تابع پرتابی به صورت:

$$\Psi(\cdot) = \begin{pmatrix} x(t_f) \\ 1 + \lambda_2(t_f)u(t_f) \\ \lambda_2(s) \end{pmatrix} \quad (34)$$

معادله پرتابی نقض شود، بایستی بردار جدید Z محاسبه و روند فوق از سر گرفته شود تا زمانی که معادله پرتابی برقرار گردد.

توجه شود IVP (۲۵) می‌تواند با یک حل کننده معادلات دیفرانسیل عادی با دقتی از مرتبه بالا حل شود که خاصیت کنترل خطا دارد. در این مقاله، جدا از روش‌ها و نرم‌افزارهایی که برای حل IVP (۲۵) توسعه یافته‌اند، از تابع ode45 در نرم‌افزار متلب استفاده شده است. این تابع روندی بر اساس فرمول رانگ-کوتا صریح با گام زمانی متغیر برای کارایی محاسبات عددی معادلات دیفرانسیل دارد. علاوه بر این، تابع ode45 خطا را با استفاده از دو پارامتر RelTol و AbsTol کنترل می‌کند. با استفاده از این پارامترها می‌توانیم تلورانس خطای نسبی و مطلق را تنظیم کنیم. همچنین، تابع fsolve برای حل دستگاه معادلات غیرخطی (۲۲) استفاده شده است. توجه شود در این حل کننده دقت جواب مشاهده شده را می‌توانیم به کمک دو پارامتر TolX و TolFun تنظیم کنیم که پارامتر اول تلورانس روی مقدار تابع و پارامتر دوم تلورانس روی مقدار طول گام را تعیین می‌کند.

مثال‌های عددی

در این بخش پنج مثال برای نشان دادن کاربرد و دقت روش بیان شده ارائه خواهد گردید.

مثال ۱: نوسانگر واندربول. یک مدار نوسانگر واندربول که با استفاده از دیود تونل ساخته می‌شود را به عنوان نوسانگر دیود تونل واندربول می‌شناسند. دیود تونل‌ها به تولید سیگنال‌هایی با فرکانس بسیار بالا کمک شایانی می‌نمایند. اکنون فرض کنیم در یک مدار نوسانگر دیود تونل واندربول، هدف مینیمم کردن زمان نهایی t_f نسبت به محدودیت‌های

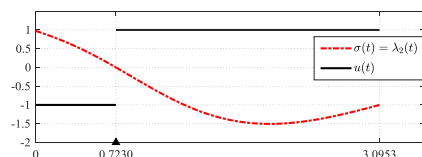
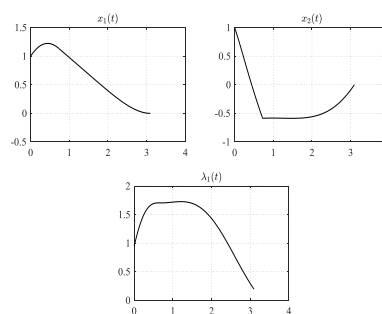
$$\dot{x}_1 = x_2 \quad (26)$$

است که بردار مجهولات z به شکل

$$z = (s, t_f, \lambda_1(0), \lambda_2(0))^T \quad (35)$$

در نظر گرفته شده‌اند.

در شکل (۱)، توابع سویچ، کنترل، حالت و الحاقی نشان داده شده است. در جدول (۱)، مقادیر زمان‌های نهایی و سویچ با جواب تقریبی کد BNDSCO پرتابی چندگانه در [22] مقایسه شده است. علاوه بر این، برای نشان دادن دقت و همگرایی روش، مقادیر اولیه متغیرهای الحاقی در جدول (۲) گزارش شده‌اند.



شکل «۱»: توابع سویچ، کنترل، حالت و الحاقی به دست آمده از روش پیشنهادی در مثال ۱

مثال ۲: سیستم غیرخطی مرتبه سوم. کنترل بهینه سیستم‌های غیرخطی، امروزه یکی از دشوارترین و چالش‌زاترین موضوعات در نظریه کنترل است. اکنون فرض کنیم با مسئله زمان انتهایی آزاد یک سیستم

غیرخطی مرتبه سوم که در [5] آمده، روبرو هستیم. مسئله، مینیمم کردن زمان انتهایی t_f نسبت به محدودیت‌های

$$\dot{x}_1 = x_2 \quad (36)$$

$$\dot{x}_2 = x_3 \quad (37)$$

$$\dot{x}_3 = \sin(x_1) + u \quad (38)$$

$$u(t) \in \{-1, 1\} \quad (39)$$

و شرایط اولیه و مرزی

$$x(0) = [1, 1, 1]^T \quad (40)$$

$$x(t_f) = [0, 0, 0]^T \quad (41)$$

است.

در اینجا تابع همیلتونی (۶) به صورت:

$$H(x, \lambda, u) = [1 + \lambda_1 x_2 + \lambda_2 x_3 + \lambda_3 (\sin(x_1) + u)] \quad (42)$$

تشکیل می‌شود. در نتیجه، معادلات الحاقی (۹) به صورت:

$$d\lambda_1 / dt = -\lambda_3 \cos(x_1) \quad (43)$$

$$d\lambda_2 / dt = -\lambda_1 \quad (44)$$

$$d\lambda_3 / dt = -\lambda_2 \quad (45)$$

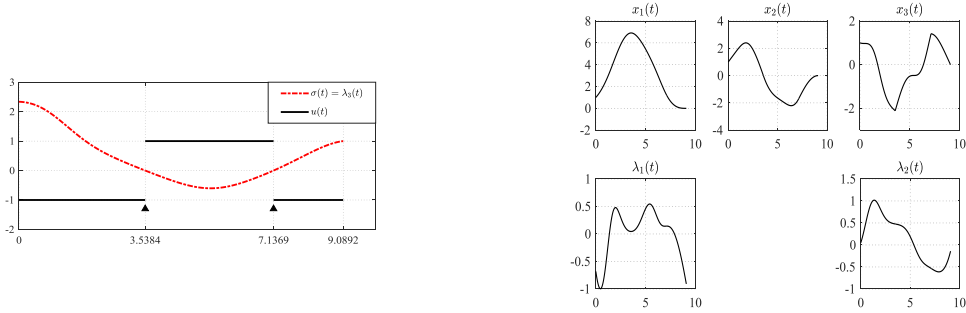
به دست می‌آیند.

جدول «۱»: (مسئله و اندرپول): مقادیر زمان‌های نهایی و سویچ محاسبه شده برای مقادیر مختلف پارامترهای fsolve و ode45

| TolFun | TolX | RelTol | AbsTol | s | t_f |
|---------------------------|---------|---------|---------|---------------|---------------|
| 1.0e-03 | 1.0e-03 | 1.0e-03 | 1.0e-03 | 0.72301562789 | 3.09527251197 |
| 1.0e-06 | 1.0e-06 | 1.0e-06 | 1.0e-06 | 0.72300371861 | 3.09520238575 |
| 1.0e-09 | 1.0e-09 | 1.0e-09 | 1.0e-09 | 0.72300374210 | 3.09520234037 |
| 1.0e-12 | 1.0e-12 | 1.0e-12 | 1.0e-12 | 0.72300374213 | 3.09520234047 |
| نتایج به دست آمده از [21] | | | | 0.72300373 | 3.09520234 |

جدول «۲»: (مسئله و اندرپول): مقادیر محاسبه شده مقادیر اولیه متغیرهای الحاقی به ازای مقادیر مختلف پارامترهای ode45 و fsolve

| TolFun | TolX | RelTol | AbsTol | $\lambda_1(0)$ | $\lambda_2(0)$ |
|---------------------------|---------|---------|---------|----------------|----------------|
| 1.0e-03 | 1.0e-03 | 1.0e-03 | 1.0e-03 | 0.94734017185 | 0.97368164537 |
| 1.0e-06 | 1.0e-06 | 1.0e-06 | 1.0e-06 | 0.94728445696 | 0.97364215977 |
| 1.0e-09 | 1.0e-09 | 1.0e-09 | 1.0e-09 | 0.94728448864 | 0.97364224421 |
| 1.0e-12 | 1.0e-12 | 1.0e-12 | 1.0e-12 | 0.94728448872 | 0.97364224436 |
| نتایج به دست آمده از [21] | | | | 0.94728449 | 0.97364224 |



شکل «۲»: توابع سویچ، کنترل، حالت و الحاقی به دست آمده از روش پیشنهادی در مثال ۲

جدول «۳»: (سیستم غیرخطی مرتبه سوم): مقادیر زمان‌های نهایی و سویچ محاسبه شده برای مقادیر مختلف پارامترهای ode45 و fsolve

| TolFun | TolX | RelTol | AbsTol | s_1 | s_2 | t_f |
|--------------------------|---------|---------|---------|---------------|---------------|---------------|
| 1.0e-03 | 1.0e-03 | 1.0e-03 | 1.0e-03 | 3.53834896131 | 7.13686556868 | 9.08924534920 |
| 1.0e-06 | 1.0e-06 | 1.0e-06 | 1.0e-06 | 3.53835661840 | 7.13686397456 | 9.08924139329 |
| 1.0e-09 | 1.0e-09 | 1.0e-09 | 1.0e-09 | 3.53835630091 | 7.13686367859 | 9.08924079250 |
| 1.0e-12 | 1.0e-12 | 1.0e-12 | 1.0e-12 | 3.53835630094 | 7.13686367861 | 9.08924079213 |
| نتایج به دست آمده از [5] | | | | 3.53835 | 7.13686 | 9.08924 |

جدول «۴»: (سیستم غیرخطی مرتبه سوم): مقادیر محاسبه شده مقادیر اولیه متغیرهای الحاقی به ازای مقادیر مختلف پارامترهای

ode45 و fsolve

| TolFun | TolX | RelTol | AbsTol | $\lambda_1(0)$ | $\lambda_2(0)$ | $\lambda_3(0)$ |
|---------|---------|---------|---------|----------------|----------------|----------------|
| 1.0e-03 | 1.0e-03 | 1.0e-03 | 1.0e-03 | -0.68007349291 | 0.05064547984 | 2.33692283359 |
| 1.0e-06 | 1.0e-06 | 1.0e-06 | 1.0e-06 | -0.68012157240 | 0.05060297981 | 2.33697211250 |
| 1.0e-09 | 1.0e-09 | 1.0e-09 | 1.0e-09 | -0.68012348175 | 0.05060181910 | 2.33697493063 |
| 1.0e-12 | 1.0e-12 | 1.0e-12 | 1.0e-12 | -0.68012348372 | 0.05060181876 | 2.33697493536 |

براین، برای نشان دادن دقت و همگرایی روش، مقادیر اولیه متغیرهای الحاقی در جدول (۴)، گزارش شده‌اند.

مثال ۳: بازوهای یک روبات. مسئله کنترل بهینه بازوهای یک روبات با دو لینک که توسط محققین مختلف به آن پرداخته شده است را در نظر بگیرید [23, 24, 6].

در این مسئله، هدف مینیمم کردن زمان انتهایی t_f نسبت به محدودیت‌های

تابع سویچ $\sigma(t) = \lambda_3(t)$ کنترل بهینه را با $u(t) = -\text{sign} \lambda_3(t)$ مشخص می‌کند. با استفاده از روش پرتابی مرسوم روی این مسئله، جواب سیستم کنترل در نقاط سویچ $s_1 = 3.4887$ ، $s_2 = 7.0694$ و $t_f = 9.892$ به دست آمده است. حال با معلوم بودن تعداد نقاط سویچ و ساختار کنترل بهینه، این مسئله با روش پیشنهادی حل شده است. در شکل (۲)، توابع کنترل، سویچ، حالت و الحاقی به دست آمده نشان داده شده است و در جدول (۳)، مقادیر زمان‌های نهایی و سویچ گزارش شده‌اند. علاوه

$$d\lambda_4 / dt = [\lambda_2(16 - 9\cos^2(x_2)) + (x_3 + x_4) \times (12\lambda_3 \sin(x_2) - 12\lambda_4 \sin(x_2) - 9\lambda_4 \sin(2x_2))] / [-16 + 9\cos^2(x_2)] \quad (54)$$

$$\dot{x}_1 = x_3 \quad (46)$$

$$\dot{x}_2 = x_4 \quad (47)$$

به دست می‌آیند که در آن

$$M(\cdot) = \cos^3(x_2)(180\lambda_3 x_3 x_4 + 90\lambda_3 x_3^2 + 90\lambda_3 x_4^2 - 90\lambda_4 x_4^2 - 450\lambda_4 x_3^2 - 180\lambda_4 x_3 x_4) + \cos^2(x_2) \times (-690\lambda_4 x_3^2 - 345\lambda_4 x_4^2 + 345\lambda_3 x_3^2 - 690\lambda_4 x_3 x_4) + 27 \sin(x_2) \cos^2(x_2)(\lambda_3 u_2 - 2\lambda_4 u_2 + 2\lambda_4 u_1) + \cos(x_2)(-20\lambda_3 x_3^2 - 20\lambda_3 x_4^2 + 20\lambda_4 x_4^2 + 100\lambda_4 x_3^2 - 40\lambda_3 x_3 x_4 + 40\lambda_4 x_3 x_4) + \sin(x_2)(48\lambda_3 u_2 - 96\lambda_4 u_2 + 96\lambda_4 u_1 + \sin(2x_2)(-36\lambda_3 u_1 + 18\lambda_3 u_2 - 90\lambda_4 u_2 + 36\lambda_4 u_1) + 480\lambda_4 x_3 x_4 - 240\lambda_3 x_3^2 + 480\lambda_3 x_4^2 - 4x_3^2 + 240\lambda_4 x_4^2) \quad (55)$$

است و برای سادگی به جای $M(\cdot)$ از $M(x_2, x_3, x_4, \lambda_3, \lambda_4, u_1, u_2)$ استفاده شده است. همچنین توابع سویچ به صورت:

$$\sigma_1(t) = \frac{(20/3)(\lambda_3 - \lambda_4) - 10\lambda_4 \cos(x_2)}{(400/9) - 25\cos^2(x_2)} \quad (56)$$

$$\sigma_2(t) = \frac{(50/3)\lambda_4 + 10\lambda_4 \cos(x_2) - (10/3)\lambda_3 - 5\lambda_3 \cos(x_2)}{(400/9) - 25\cos^2(x_2)} \quad (57)$$

خواهند بود.

حال با معلوم بودن تعداد نقاط سویچ و ساختار کنترل بهینه، این مسئله را با روش پیشنهادی حل می‌کنیم. در شکل (۳)، توابع کنترل، سویچ، حالت و الحاقی به دست آمده نشان داده شده است و در جدول (۵)، مقادیر زمان‌های نهایی و سویچ گزارش شده‌اند. علاوه بر این، برای نشان دادن دقت و همگرایی روش، مقادیر اولیه متغیرهای الحاقی در جدول (۶)، گزارش شده‌اند. توجه شود که روش بیان شده، راه‌حلی دقیق

$$\dot{x}_3 = [(50/3)\sin(x_2)(x_3^2 + 2x_3 x_4 + x_4^2) + (10/3)(2u_1 - u_2) - 5u_2 \cos(x_2) + (25/2)\sin(2x_2)x_3^2] / [(400/9) - 25\cos^2(x_2)] \quad (48)$$

$$\dot{x}_4 = [-(50/3)\sin(x_2)(5x_3^2 + 2x_3 x_4 + x_4^2) + (10/3)(5u_2 - 2u_1) + 10(u_2 - u_1)\cos(x_2) - (25/2)\sin(2x_2)(2x_3^2 + 2x_3 x_4 + x_4^2)] / [(400/9) - 25\cos^2(x_2)] \quad (49)$$

$$u_j(t) \in \{-1, 1\}, j = 1, 2 \quad (50)$$

با $x(0) = [0, 0, 0, 0]^T$ و حالت نهایی $x(t_f) = [-0.44, 1.83, 0, 0]^T$ لازم به ذکر است که در این مسئله، متغیرهای حالت x_1 و x_2 موقعیت زاویه‌ای نقطه اتصال و x_3 و x_4 نیز طبیعتاً سرعت‌های زاویه‌ای را بیان می‌نمایند. در ضمن، از گشتاورهای این دو لینک یعنی u_1 و u_2 به عنوان متغیرهای کنترلی به منظور هدایت روبات در کمترین زمان ممکن از موقعیت اولیه به موقعیت پایانی، استفاده شده است.

بنابراین معادلات الحاقی (۹) به صورت:

$$d\lambda_1 / dt = 0 \quad (51)$$

$$d\lambda_2 / dt = -(3/5)[M(x_2, x_3, x_4, \lambda_3, \lambda_4, u_1, u_2)] / [256 - 288\cos^2(x_2) + 81\cos^4(x_2)] \quad (52)$$

$$d\lambda_3 / dt = [\lambda_1(16 - 9\cos^2(x_2)) + 12\sin(x_2) \times (\lambda_3(x_3 + x_4) - \lambda_4(5x_3 + x_4)) + \sin(2x_2) \times (9x_3(\lambda_3 - 2\lambda_4) - 9x_4\lambda_4)] / [-16 + 9\cos^2(x_2)] \quad (53)$$

یک موقعیت به موقعیت دیگر در حداقل زمان ممکن است به نحوی که بار آن در موقعیتی ثابت از جایی شروع و به پایان برسد. طبیعتاً تابع کنترل در این مسئله همان نیروی کنترل جرتقیل یعنی پدال گاز یا احياناً ترمز جرتقیل است. لذا در این مسئله، هدف مینیمم کردن زمان انتهایی نسبت به محدودیت‌های

$$\dot{x}_1 = x_2 \quad (58)$$

$$\dot{x}_2 = u \quad (59)$$

$$\dot{x}_3 = x_4 \quad (60)$$

$$\dot{x}_4 = -0.98x_3 + 0.1u \quad (61)$$

$$u(t) \in \{-1, 1\} \quad (62)$$

و شرایط اولیه و مرزی

$$x(0) = [0, 0, 0, 0]^T \quad (63)$$

$$x(t_f) = [15, 0, 0, 0]^T \quad (64)$$

می‌باشند. در اینجا تابع همیلتونی (۶) به صورت:

$$H(x, \lambda, u) = 1 + \lambda_1 x_2 + \lambda_2 u + \lambda_3 x_4 - \lambda_4 (0.98x_3 - 0.1u) \quad (65)$$

خواهد بود که منجر به تشکیل معادلات الحاقی (۹) به صورت:

$$d\lambda_1 / dt = 0 \quad (66)$$

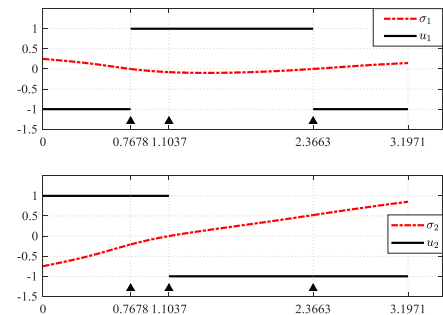
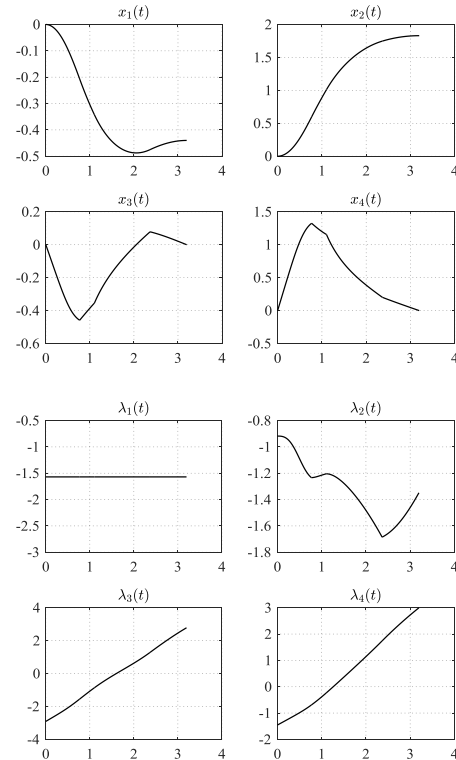
$$d\lambda_2 / dt = -\lambda_1 \quad (67)$$

$$d\lambda_3 / dt = 0.98\lambda_4 \quad (68)$$

$$d\lambda_4 / dt = -\lambda_3 \quad (69)$$

خواهد گشت. در این مسئله تابع سوئیچ $\sigma(t) = \lambda_2(t) + 0.1\lambda_4(t)$ ، کنترل بهینه را به صورت $u(t) = -\text{sign}(\lambda_2(t) + 0.1\lambda_4(t))$ مشخص می‌نماید.

ارائه می‌دهد و می‌تواند نقاط سوئیچ را با دقت بسیار مناسب به دست آورد.



شکل «۳»: توابع سوئیچ، کنترل، حالت و الحاقی به دست آمده از روش پیشنهادی در مثال ۳

مثال ۴: جرتقیل پل. مسئله زمان انتهایی آزاد جرتقیل پل که در [9] آمده است را در نظر بگیرید. در این مسئله فرض بر این است که جرتقیل روی ریل‌های مستقیم و بدون اصطکاک قرار داشته و بار آن در طناب‌هایی دایمی و غیرقابل تحمل از مرکز ثقل خود معلق باشد. در این سیستم، هدف حرکت جرتقیل از

جدول «۵»: (مسئله بازوهای یک روبات): مقادیر زمان‌های نهایی و سویچ محاسبه شده برای مقادیر مختلف پارامترهای ode45 و fsolve

| TolFun | TolX | RelTol | AbsTol | s_1 | s_2 | s_3 | t_f |
|--------------------------|---------|---------|---------|---------------|---------------|---------------|---------------|
| 1.0e-03 | 1.0e-03 | 1.0e-03 | 1.0e-03 | 0.76778603056 | 1.10366985024 | 2.36634282018 | 3.19710629592 |
| 1.0e-06 | 1.0e-06 | 1.0e-06 | 1.0e-06 | 0.76778926545 | 1.10367124281 | 2.36634527742 | 3.19711194006 |
| 1.0e-09 | 1.0e-09 | 1.0e-09 | 1.0e-09 | 0.76778927125 | 1.10367129913 | 2.36634521474 | 3.19711188693 |
| 1.0e-12 | 1.0e-12 | 1.0e-12 | 1.0e-12 | 0.76778927118 | 1.10367129908 | 2.36634521457 | 3.19711188678 |
| نتایج به دست آمده از [6] | | | | 0.7677893 | 1.1036713 | 2.3663452 | 3.197119 |

جدول «۶»: (مسئله بازوهای یک روبات): مقادیر محاسبه شده مقادیر اولیه متغیرهای الحاقی به ازای مقادیر مختلف پارامترهای fsolve و ode45

| TolFun | TolX | RelTol | AbsTol | $\lambda_1(0)$ | $\lambda_2(0)$ | $\lambda_3(0)$ | $\lambda_4(0)$ |
|--------------------------|---------|---------|---------|----------------|----------------|----------------|----------------|
| 1.0e-03 | 1.0e-03 | 1.0e-03 | 1.0e-03 | -1.56900143800 | -0.91771498374 | -2.90427738607 | -1.45400686594 |
| 1.0e-06 | 1.0e-06 | 1.0e-06 | 1.0e-06 | -1.56971944709 | -0.91794327412 | -2.90687926979 | -1.45494529907 |
| 1.0e-09 | 1.0e-09 | 1.0e-09 | 1.0e-09 | -1.56971965077 | -0.91794340778 | -2.90687990183 | -1.45494560686 |
| 1.0e-12 | 1.0e-12 | 1.0e-12 | 1.0e-12 | -1.56971965087 | -0.91794340811 | -2.90687990192 | -1.45494560707 |
| نتایج به دست آمده از [6] | | | | -1.5697236 | -0.9179555 | -2.9053665 | -1.4543976 |

$$\dot{x}_3 = 0.2u \quad (۷۲)$$

$$u(t) \in \{-1, 1\} \quad (۷۳)$$

و شرایط اولیه و مرزی

$$x(0) = [0.04, 2, 0]^T \quad (۷۴)$$

$$x(t_f) = [0.06, 3, 0]^T \quad (۷۵)$$

می باشند. در اینجا تابع همیلتونی (۶) به صورت:

$$H(x, \lambda, u) = 1 + 5\lambda_1 x_1 (x_3 - 1) + 0.1\lambda_1 x_2 + 5\lambda_2 x_1 - 0.1\lambda_2 x_2 + 0.2\lambda_3 u \quad (۷۶)$$

خواهد بود که منجر به تشکیل معادلات الحاقی (۹) به صورت:

$$d\lambda_1 / dt = 5\lambda_1(1 - x_3) - 5\lambda_2 \quad (۷۷)$$

$$d\lambda_2 / dt = 0.1\lambda_2 - 0.1\lambda_1 \quad (۷۸)$$

$$d\lambda_3 / dt = -5\lambda_1 x_1 \quad (۷۹)$$

خواهد گشت. در این مسئله تابع سویچ

$$\sigma(t) = 0.2\lambda_3(t), \text{ کنترل بهینه را به صورت}$$

$$u(t) = -\text{sign}(0.2\lambda_3(t)) \text{ مشخص می نماید.}$$

اکنون با مشخص بودن تعداد نقاط سویچ و

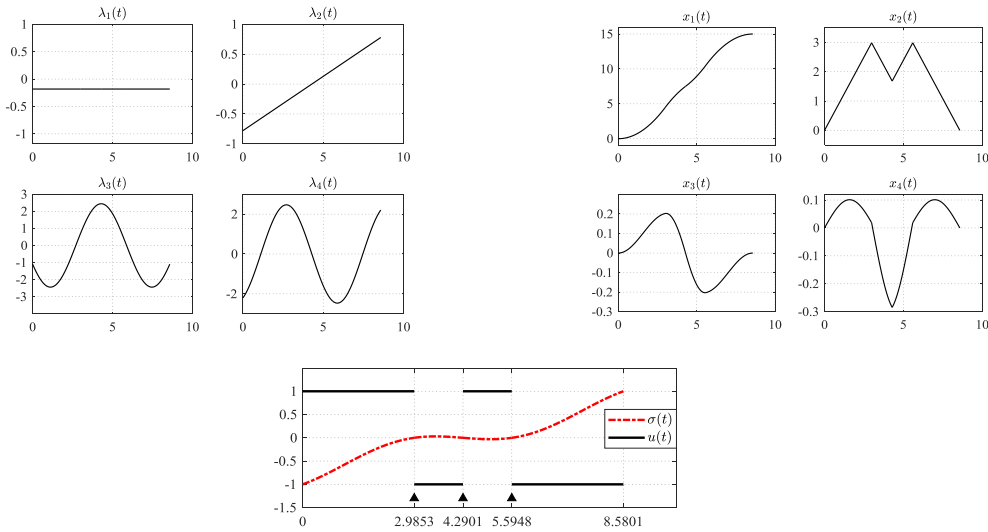
ساختار کنترل بهینه که از روش پرتابی مرسوم حاصل آمده است، این مسئله را با روش پیشنهادی حل می کنیم. در شکل (۴) توابع کنترل، سویچ، حالت و الحاقی به دست آمده نشان داده شده است و در جدول (۷) مقادیر زمان‌های نهایی و سویچ گزارش شده اند. همچنین برای نمایش دقت و همگرایی روش، مقادیر اولیه متغیرهای الحاقی نیز در جدول (۸) گزارش شده است.

مثال ۵: راکتور شیمیایی. مسئله زمان انتهایی آزاد

راکتور شیمیایی که در [21] آمده است را در نظر بگیرید. در این مسئله، متغیرهای حالت x_1 ، x_2 و x_3 به ترتیب چگالی، تأخیر در غلظت و واکنش پذیری را در یک سیستم نشان می دهند، درحالی که متغیر u که همان متغیر کنترلی در این سیستم است، بیانگر دما در لحظه t است. در این سیستم، مسئله مینیمم کردن زمان انتهایی t_f نسبت به محدودیت‌های

$$\dot{x}_1 = 5x_1(x_3 - 1) + 0.1x_2 \quad (۷۰)$$

$$\dot{x}_2 = 5x_1 - 0.1x_2 \quad (۷۱)$$



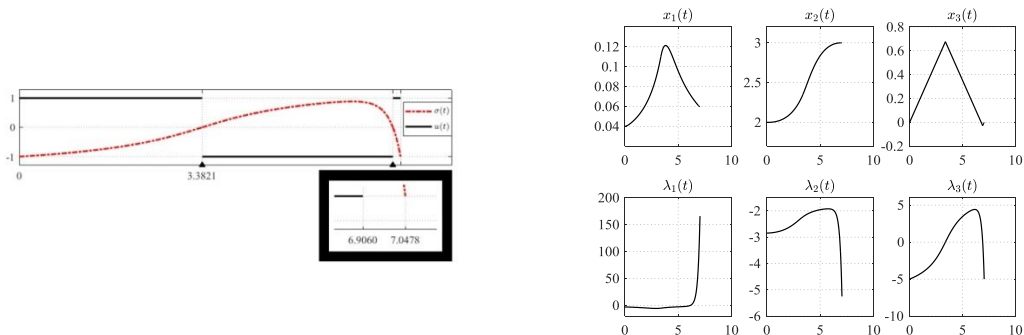
شکل «۴»: توابع سویچ، کنترل، حالت و الحاقی به دست آمده از روش پیشنهادی در مثال ۴

جدول «۷»: (مسئله جرتقیل پل): مقادیر زمان های نهایی و سویچ محاسبه شده برای مقادیر مختلف پارامترهای ode45 و fsolve

| TolFun | TolX | RelTol | AbsTol | s_1 | s_2 | s_3 | t_f |
|--------------------------|---------|---------|---------|---------------|----------------|---------------|---------------|
| 1.0e-03 | 1.0e-03 | 1.0e-03 | 1.0e-03 | 2.98534164389 | 4.29005305228 | 5.59476254024 | 8.58010226372 |
| 1.0e-06 | 1.0e-06 | 1.0e-06 | 1.0e-06 | 2.98534070890 | 4.29005156830 | 5.59476216189 | 8.58010260154 |
| 1.0e-09 | 1.0e-09 | 1.0e-09 | 1.0e-09 | 2.98534056243 | 4.29005131910 | 5.59476207521 | 8.58010263708 |
| 1.0e-12 | 1.0e-12 | 1.0e-12 | 1.0e-12 | 2.98534056214 | 4.29005131855 | 5.59476207495 | 8.58010263709 |
| نتایج به دست آمده از [9] | | | | 2.98534056214 | 4.290051311855 | 5.59476207495 | 8.58010263709 |

جدول «۸»: (مسئله جرتقیل پل): مقادیر محاسبه شده مقادیر اولیه متغیرهای الحاقی به ازای مقادیر مختلف پارامترهای ode45 و fsolve

| TolFun | TolX | RelTol | AbsTol | $\lambda_1(0)$ | $\lambda_2(0)$ | $\lambda_3(0)$ | $\lambda_4(0)$ |
|---------|---------|---------|---------|----------------|----------------|----------------|----------------|
| 1.0e-03 | 1.0e-03 | 1.0e-03 | 1.0e-03 | -0.18172142222 | -0.77959432782 | -1.09588674992 | -2.20406817424 |
| 1.0e-06 | 1.0e-06 | 1.0e-06 | 1.0e-06 | -0.18172131824 | -0.77959374522 | -1.09588850188 | -2.20406239144 |
| 1.0e-09 | 1.0e-09 | 1.0e-09 | 1.0e-09 | -0.18172135778 | -0.77959395064 | -1.09588779157 | -2.20406049756 |
| 1.0e-12 | 1.0e-12 | 1.0e-12 | 1.0e-12 | -0.18172135774 | -0.77959395040 | -1.09588779215 | -2.20406049599 |



شکل «۵»: توابع سویچ، کنترل، حالت و الحاقی به دست آمده از روش پیشنهادی در مثال ۵

جدول «۹»: (مسئله راکتور شیمیایی): مقادیر زمان‌های نهایی و سویچ محاسبه شده برای مقادیر مختلف پارامترهای ode45 و fsolve

| TolFun | TolX | RelTol | AbsTol | s_1 | s_2 | t_f |
|---------------------------|---------|---------|---------|---------------|---------------|---------------|
| 1.0e-03 | 1.0e-03 | 1.0e-03 | 1.0e-03 | 3.38209879138 | 6.90661504664 | 7.04903251040 |
| 1.0e-06 | 1.0e-06 | 1.0e-06 | 1.0e-06 | 3.38208953564 | 6.90599293791 | 7.04780686215 |
| 1.0e-09 | 1.0e-09 | 1.0e-09 | 1.0e-09 | 3.38208954823 | 6.90599297159 | 7.04780684672 |
| 1.0e-12 | 1.0e-12 | 1.0e-12 | 1.0e-12 | 3.38208954822 | 6.90599297157 | 7.04780684669 |
| نتایج به دست آمده از [21] | | | | 3.38208957 | 6.90599299 | 7.04780685 |

جدول «۱۰»: (مسئله راکتور شیمیایی): مقادیر محاسبه شده مقادیر اولیه متغیرهای الحاقی به ازای مقادیر مختلف پارامترهای ode45 و fsolve

| TolFun | TolX | RelTol | AbsTol | $\lambda_1(0)$ | $\lambda_2(0)$ | $\lambda_3(0)$ |
|---------------------------|---------|---------|---------|-----------------|-----------------|-----------------|
| 1.0e-03 | 1.0e-03 | 1.0e-03 | 1.0e-03 | - 2.95496305447 | - 2.83091449952 | - 4.97444752966 |
| 1.0e-06 | 1.0e-06 | 1.0e-06 | 1.0e-06 | - 2.97015514326 | - 2.84546902458 | - 4.99999998975 |
| 1.0e-09 | 1.0e-09 | 1.0e-09 | 1.0e-09 | - 2.97015518504 | - 2.84546909658 | - 4.99999999921 |
| 1.0e-12 | 1.0e-12 | 1.0e-12 | 1.0e-12 | - 2.97015518582 | - 2.84546909698 | - 5.00000000000 |
| نتایج به دست آمده از [21] | | | | - 2.97015515 | - 2.84546900 | -5 |

بالا به دست آورد و همچنین پیاده‌سازی کامپیوتری ساده‌ای دارد. همچنین برآورده کردن شرایط لازم بهینگی از دیگر نقاط قوت این روش محسوب می‌گردد. ولی در عوض، همانند همه روش‌های غیرمستقیم، این روش نیز گستره همگرایی پایینی دارد و به انتخاب حدس اولیه بسیار حساس است. همچنین روش نیازمند مقادیر اولیه مناسب برای متغیرهای الحاقی است که با توجه به عدم تعبیر فیزیکی از این متغیرها، خود عاملی تأثیرگذار بر همگرایی روش خواهد بود.

اکنون با مشخص بودن تعداد نقاط سویچ و ساختار کنترل بهینه که از روش پرتابی مرسوم حاصل آمده است، این مسئله را با روش پیشنهادی حل می‌کنیم. در شکل (۵) توابع کنترل، سویچ، حالت و الحاقی به دست آمده نشان داده شده است و در جدول (۹) مقادیر زمان‌های نهایی و سویچ گزارش شده‌اند. همچنین برای نمایش دقت و همگرایی روش، مقادیر اولیه متغیرهای الحاقی نیز در جدول (۱۰) گزارش شده است.

نتیجه‌گیری

در این مقاله از یک روش پرتابی با کنترل پارامتری شده برای حل غیرمستقیم دسته‌ای از مسائل کنترل بهینه سویچ‌دار استفاده شد و نتایج کار روی پنج مسئله نوسانگر واندرپل، سیستم غیرخطی مرتبه سوم، بازوهای یک روبات، جرثقیل پل و راکتور شیمیایی که همگی جزو مسائل معیارسنج در نظریه کنترل بهینه محسوب می‌گردند مشاهده گردید. در مقایسه با روش‌های موجود برای حل این دسته از مسائل کنترل بهینه می‌توان گفت که روش پیشنهادی کارایی مناسبی داشته، به خوبی می‌تواند نقاط سویچ مسئله را با دقت

واژه‌نامه

| | |
|-----------------------------------|-----------------------|
| Switching optimal control problem | کنترل بهینه سویچ دار |
| State variable | متغیر مکانی |
| Control variable | متغیر کنترلی |
| Dynamical system | سیستم دینامیکی |
| Objective function | تابع هدف |
| Pontryagin's minimum principle | اصل مینیمم پونتریاگین |
| Hamiltonian function | تابع همبالتونی |

| | | | |
|------------------------------|------------------------|-------------------------------------------|-----------------------|
| Relative error | خطای نسبی | Costate variables | متغیر الحاقی |
| Absolute error | خطای مطلق | Hamiltonian boundary value problem (HBVP) | مسأله مقدار مرزی |
| Van der Pol oscillator | نوسانگر واندرپول | Improved shooting method | روش پرتابی بهبودیافته |
| Third-order nonlinear system | سیستم غیرخطی مرتبه سوم | Shooting equation | معادله ی پرتابی |
| Two-link robot | بازوهای یک ربات | Switching function | تابع سویچ |
| Bridge-Crane Problem | مسأله جرتقیل پل | Transversality condition | شرط ترانسورسالیته |
| Nuclear Reactor | مسأله رآکتور شیمیایی | Initial Value Problem (IVP) | مسأله مقدار اولیه |
| | | Runge-Kutta formula | فرمول رانگ کوتا |

مراجع

1. Ledzewicz, U. and Schttler, H., "Analysis of a cell-cycle specific model for cancer chemotherapy", *Journal of Biological Systems*, Vol. 10, pp. 183–206, (2002).
2. Woon, S. Rehbock, V. and Loxton, R. "Towards global solutions of optimal discrete-valued control problems", *Optimal Control Applications and Methods*, 33, pp. 576–594, (2012).
3. Xia, L. and Shihada, B. "Power and delay optimisation in multi-hop wireless networks", *International Journal of Control*, 87, pp. 1252–1265, (2014).
4. Kaya, C. and Noakes, J. "Computations and time-optimal controls", *Optimal Control Applications and Methods*, 17, pp. 171–185, (1996).
5. Kaya, C. and Noakes, J. "Computational method for time-optimal switching control", *Journal of Optimization Theory and Applications*, 117, pp. 69–92, (2003)
6. Maurer, H. Buskens, C. Kim, J.-H and Kaya, C. "Optimization methods for the verification of second order sufficient conditions for bang-bang controls", *Optimal Control Applications and Methods*, 26, pp. 129–156, (2005).
7. Lin, Q. Loxton, R. Teo, K. and Wu, Y. "A new computational method for a class of free terminal time optimal control problems", *Pacific Journal of Optimization*, 7, pp. 63–81, (2011).
8. Lin, Q. Loxton, R. Teo, K. and Wu, Y. "Optimal control computation for nonlinear systems with state-dependent stopping criteria", *Automatica*, 48, pp. 2116–2129, (2012).
9. Shamsi, M. "A modified pseudospectral scheme for accurate solution of bang-bang optimal control problems", *Optimal Control Applications and Methods*, 32, pp. 668–680, (2011).
10. Gerdt, M. "A nonsmooth newton's method for control-state constrained optimal control problems", *Mathematics and Computers in Simulation*, 79, pp. 925–936, (2008).
11. Riedinger, P. and Morarescu, I.-C., "A numerical framework for optimal control of switched input affine nonlinear systems subject to path constraint", *Mathematics and Computers in Simulation*, 95, pp. 63–77, (2014).
12. Yu, C. Li, B. Loxton, R. and Teo, K. "Optimal discrete-valued control computation", *Journal of Global Optimization*, 56, pp. 503–518, (2013).

13. Lee, H. Teo, K. Rehbock, V. and Jennings, L., "Control parametrization enhancing technique for optimal discrete-valued control problems", *Automatica*, 35, pp. 1401–1407, (1999).
14. Li, R. Feng, Z. Teo, K. and Duan, G., "Tracking control of linear switched systems", *ANZIAM Journal*, 49, pp. 187–203, (2008).
15. Loxton, R. Teo, K. Rehbock, V. and Yiu, K., "Optimal control problems with a continuous inequality constraint on the state and the control", *Automatica*, 45, pp. 2250–2257, (2009).
16. Wong, K. and Tang, W., "Optimal control of switched impulsive systems with time delay", *ANZIAM Journal*, 53, 292–307, (2012).
17. Kirk, D., "*Optimal Control Theory*", Prentice-Hall, Englewood Cliffs, NJ, (1970).
18. Bryson Jr., A.E. and Ho, Y.C., "*Applied optimal control: Optimization, estimation, and control*", Hemisphere Publishing Corp. Washington, D. C., (1975).
19. Betts, J., "Survey of numerical methods for trajectory optimization", *Journal of Guidance, Control, and Dynamics*, 21, pp. 193–207, (1998).
20. Betts, J. T. "*Practical Methods for Optimal Control and Estimation Using Nonlinear Programming*", 2nd edition, Cambridge University Press, New York, NY, USA, (2009).
21. Maurer, H. and Osmolovskii, N., "Second order sufficient conditions for time-optimal bang-bang control", *SIAM Journal on Control and Optimization*, 42, pp. 2239–2263, (2004).
22. Oberle, H. and Grimm, W., "BNDSCO -A program for the numerical solution of optimal control problems", Technical Report 515-89/22, Institute for Flight Systems Dynamics, DLR, Oberpfaffenhofen, Germany, (1989).
23. Chernousko, F., Akulenko, L. and Bolotnik, N., "Time-optimal control for robotic manipulators", *Optimal Control Applications and Methods*, 10, pp. 293–311, (1989).
24. Geering, H., Guzzella, L., Hepner, S. and Onder, C., "Time-optimal motions of robots in assembly tasks", *IEEE Transactions on Automatic Control*, 31, pp. 512–518, (1986).
25. Mezzadri, F and Galligani, E., "A chebyshev technique for the solution of optimal control problems with nonlinear programming methods", *Mathematics and Computers in Simulation*, 121, pp. 95–108, (2016).
26. Teo, K., Goh, C.J. and Wong, K.H., "A Unified Computational Approach to Optimal Control Problems", Longman Scientific and Technical, (1991).
27. Woon, S., Rehbock, V. and Loxton, R., "Global optimization method for continuous-time sensor scheduling", *Nonlinear Dynamics and Systems Theory*, 10, pp. 175–188, (2010).